

BaCO₃



IX 1762

BaCO₃ kp. (Poliss.)

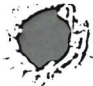
1031

Abisch H.,

Ann. Physik, 23, ~~22~~ (1832) 305-355

Grec. 500

b



ECTU Ch. H.

BaCO₃ (P-P, H₂O) / K_P) 1872
Schloesing T., IX-1675

Compt. rend., 1872, 75, 70



13

BaCO_3 B9 - 1200 - IX 1878

Jambert M.

(K_p, P_{diss}) Compt. rend., 1878, 86,
 332-33

BaCO₃ BP-3640-VI 1886
Toly Z.

(CP) Proc. Roy. Soc (London)
1886, 41, 250-74

BaCO₃)

E-3191

1900

CaCO₃(P-P, H₂O) /K_P)
BaCO₃

Brønstedt G.,

Z. phys. Chem., 1900, 35, 23

B

Ba W₃

[BP-1905-1X]

1905

Brill. O.

Kp, Pdiss

Z. anorg. Chem., 1905, 45,
275-92

BaCO₃ (k)(DFH)

№_33155

1906

Boeke H.E.

Über das Verhalten von Baryum-und von Calciumkarbonat bei hohen Temperaturen.

Z.für anorgan.und allgem.Chem.- 1906,
50, 244-248.

Гусаров)

BaCO₃(k) (DFH)

1906

No 33156

Finkelstein A.

Die Dissociation des Baryumcarbonats.

Berichte der Deutschen chemischen
gesellschaft. - 1906, 39, Bd. 2, 1585 - 1592.

(Гусаров)

1908

BEP R-1238

BaCO_3 , MgCO_3 , CaCO_3 ; $K_P(P_{\text{diss}})$

Johnston &c.

Z. phys. Chem., 1908, 65, 737-743.

IX - 3090

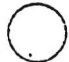
1908

$BaCO_3$; $BaSO_4$; CaO ($H_T - H_0$)

Zaschuschenko P.N.,

C. z. Acad. sci, 1908, 147, 58.

Note sur les charbonnes d'échauffement de la barytine la witherite et de la chaux fondue.



5 ~~5~~

Kemml N° 584

IX-3069

1910

BaCO₃; BaSO₄; CaO (Hg-Hg)

Пашенко П.Н.

Ж. рус. физ.-хим. об-ва, 1910, 42, 1604

Теплоемкость BaCO₃; BaSO₄ и CaO.

○

5 ~~5~~

Kerru № 584

TK 2127

1912

BaCO₃; CaCO₃; ep; (Paris)

Friederich, Smith
Metallurgic, 1912, 9, 409

5

1914

IX 2126

BaCO_3 ; cp. (Pdiss)

Na_2S (OKm)

Friedrich

Metall. u. Erz. II, 1914, 167

cll, 5

circ 500

BaCO₃ (k) (DFH)

1914/15

1914

No 31154

Weissenberger G.

Über das Gleichgewicht BaCO₃ - H₂O.

Z.physikalische Chem. - 1914, 88, H.1-6,
257 - 270.

(Гусаров)

IX - 1937

1915

BaCO₃ (P-P, H₂O) (K_P)

Johnston J.,

J. Amer. Chem. Soc., 1915, 37, 2001



B

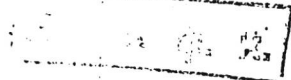
IX-3934

1926

Ba(CO₃/P-P, H₂O) (K_P)

Hahn F.L. und Brügelässer K.,

Z. anorg. Chem., 1926, 153, 88-96



B-

BaCO₃

BP 1762 IX.

1931

Abich H.

(kp, Pdis)

Ann. Phys., 1931, 23
305-355

IX - 3070

1934

$BaCO_3$; $CaCO_3$; $SrCO_3$ (s_1 ; s_{293})

Anderson C.T.,

J. Amer. Chem. Soc., 1934, 56, 340

The heat capacities at low temperatures of the alkaline earth carbonates



5 ~~9~~

Kennu N° 592

IX - 3952

1935

BaCO₃ (ρ-ρ, H₂O) (K_P)

Kelley K.K., ~~Audesson C.T.~~

Bur. Mines, 1935, Bull. 384



B

IX 2208

1937

BaCO₃ (Tec)

Hackspill d., Wolf J.,

Const. recd., 1937, 204, 1820-2

5

ECTD Φ. H.

C.A., 1937, 56638

1937

IX 2799 .. на $\text{BaCO}_3 + \text{SO}_4 \rightleftharpoons \text{BaSO}_4 + \text{CO}_3^{(K)}$

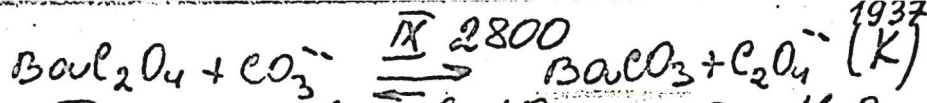
Панасов Н.А., Шнейдерман Р.Д.

Ж. пром. химии, 1937, 10, 340. ч
(in French 348)

Есть ф. н.

B

С.А., 1937, 4568⁸.



Ташаев Н.А., Красильщиков Н.В.,

Ж. приклад. химии, 1937, 10, 354-9
(in French 359)

Ag.

Лт. 1937. 4569'

BaCO_3

IX-3294

1937

$\text{BaCO}_3\}$ (p-p; H_2O) (Kp)

Townley R.W., Whitney W.B., ~~J.~~ Felsing W.

J. Amer. Chem. Soc., 1937, 59, 631

B

BaCO_3

BGP-2442-X

1937

Zimens

(Tr)

Naturwissenschaft,
1937, 25, 429-31.

1941

V - 1018

MgCO₃, CaCO₃, SrCO₃, BaCO₃,
MnCO₃, ZnCO₃, CdCO₃ u. g.
(s Hf)

Roth W. A.,

J. prakt. Chem., 1941, 158, 117

U, B

EDTA MK

1946

IK-3272

BaCO₃ (P-P, H₂O) (K_D)

Näsänen R.,

-- Ann. Acad. Sci. Fennicae, 1946, A II, n° 12

a

B

BaCO₃ BGP-1346-IX 1949.

Lander J.J.

(Tr) J. Chem. Phys., 1949,
 17, 892-901

BaCO₃ (k) (DFH)

B.P. 1347-1X

1951

No 33152

Lander J.J.

Experimental Heat Contents of SrO, BaO, CaO,
BaCO₃ and SrCO₃ at High Temperatures. Dissocia-
tion Pressures of BaCO₃ and SrCO₃.

J.Amer.Chem. Soc. - 1951.-Vol.73, No 12,
p.5794 - 5797.

(Гусаров)

PK 2825

1953

BaCO₃; Ba₃SiO₅; BaSiO₃;
Ba₂SiO₄ (afp-α)

Чаркавадзе 2.Д.

Tip. Урж. музейн. син-Д, 1953,

№28. 115-28

E. G. G. N.

P.K., 1956, №19, 61006

IX-3984

1953

BaCO₃ (ρ-ρ, H₂O) (K_P)

Schnellius P.,

Svensk. kem. tidskr., 1953, 65, 123



B

ВРР - IX - 2599

1954

Капустинский А.Ф., Саханова М.С.

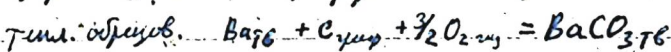
 BaCO_3 $\text{BaCO}_3, \text{AgCO}_3, \text{CaCO}_3,$
 $\text{SrCO}_3.$

Изв. АН СССР (хим), 1954, № 4, 587

Первотделение и строение агатов

7. Исследование карбоксатов эпоксидов

Борат (основной) грунтовое: см. Менделеев

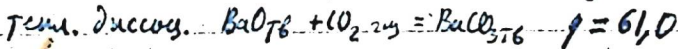


Темп. образ.

Темп. диссоц.

своб. энергия

$$-\Delta H_{298}^{\circ} = 288$$



$$\text{Свободн. энергия} \quad -\Delta F_{298} = 48,8$$

BaCO_3

Bsp- 2830-IX

1954

(Tz)

Чаркофогорский с. д.
Нов. О. У.

Усп. хим. кн., 1954,
20, № 4, 357-62.

V 1361

1957

Ag_2CO_3 ; CdCO_3 (KP)

CaCO_3 ; SrCO_3 ; BaCO_3

Andrussov L.

Z. Phys. Chem. (DDR), 1957, 208, N1-2, 78-97

Über die thermische Dissoziation von Karbonaten, mit d. Temperaturabhängigkeit und Methode wahrer Exponenten. Vergleich mit der Verdampfung (1).

PJX., 19, 1958, 63687

M.

ЕСТЬ ФОТО

Est. fotok.

¶ 1523

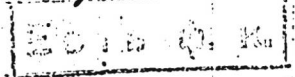
1958

BaSO₄, BaCO₃; Na₂SO₄; K₂SO₄

(Kp, aC, aH)

Pearcey & A., Aromia S.,

C.-g. Acad. sci, 1958, 247, n4, 451-4



deg. cc

P.L. 1959, 26386

1960

VI 3922

△ Ff (CaCO₃, CaCO₃, MgCO₃, ZnAl₂O₄, MnCO₃, BaCO₃,
Al₂O₃·SO₃·9H₂O, SrCO₃)

Garrels R.M., Thompson M.E., Siever R.

Amer. J. Sci., 1960, 258, N 6, 402-18

Stability of some carbonates at 25°C and one
atmosphere total pressure

WPK, W

PX, 1961, 115417



BaCO₃ BGD 2190 - IX 1960
ΦΒ-X-3354

Gromo S.

Z. Chem. phys. et. phys.
chim. biol. 1960, 54, N2

101-50

KP

PbCO_3 , PbSO_4 , ZnCO_3 , CdCO_3 ,
 FeCO_3 , MnCO_3 , CaCO_3 , CaSO_4 ,
 BaCO_3 , BaSO_4 , FeCO_3 (Hf)

VI 3691 1962

Егоров А.М., Титова З.П.

Ж.неорган.химии, 1962, 7, №2, 275-278

Температурная зависимость ...

W, M.

1962

BaCO₃

Trzcielatowski W.

SkudlarSKI K.

Roc. Chem., 1962, 36, 1279-1292

Tepur. parametry BaCO₃

1964

E.H. Baker.

BaCO₃

J. Chem. Soc., 1964, 693

Cuadro, BaO-CO₂ sys.

P = 0,01 - 650 atm.

BaCO₃

1961

5 Б753. Фазовая диаграмма системы окись бария — двуокись углерода в эвтектической области. Baker E. H. A phase diagram for the barium oxide—carbon dioxide system in the eutectic region. «Nature» (Engl.), 1965, 206, № 4990, 1250—1251 (англ.)

Система BaO—CO₂ дополнительно изучена в интервале конц-ий от BaO до BaCO₃, при давл. 0—1 ат и т-рах от 1000—2000°. На основании полученных данных построена объемная фазовая диаграмма, определяющая граници существования жидк. фазы в системе и граници полей кристаллизации тв. фаз. Найденные параметры эвтектич. точки (36 мол. % BaO; давл. 0,00661 ат; т-ра 1060°) хорошо согласуются с данными, опубликованными ранее. Достоверно показано, что при 1100—1400° в тв. BaO, находящейся в равновесии с расплавом, пр-ется ~5 мол. % BaCO₃. При давл. >0,6 ат равновесие между расплавом и богатой BaO тв. фазой не достигается.

И. Магидсон

1966

РГХ,

BaCO₃
BaC₂O₄
monohydrate
n γ -polymers
polyisocellulose

C.A. 1966
64. 7

9225 f

1265

Thermolysis of hydrates of barium oxalate. Leone Walter-Levy and Jacqueline Laniepce (Fac. Sci., Caen, France). *Compt. Rend.* 261(19)(Groupe 7), 3789-92(1965)(Fr). Ba oxalates with 3.5, 2, 1, and 0.5 H₂O of hydration were studied by thermogravimetric analysis, heating rate 300°/hr., and by differential thermal analysis with heating rates of 150 and 600°/hr. The thermolysis of these hydrates proceeds as follows; endothermic dehydration, complex conversion by exothermic and endothermic reactions of the anhyd. oxalate to the carbonate, and endothermic transformation to the oxide. The 0.5 hydrate is transformed completely at 100 to 180° into α -BaC₂O₄, which is stable up to 400°. Above this temp., the anhyd. salt is transformed into β -BaC₂O₄ and γ -BaCO₃, with only the carbonate existing >500°. At 800 and 950°, γ -BaCO₃ is transformed into the β and then the α -form. Above 1000°, decompn. of BaCO₃ begins. Thermolysis of the other hydrates yields the anhyd. α -oxalate, which decomp. in an analogous manner. The monohydrate seems to yield α -BaC₂O₄ directly at 130-180°. Decompn. of the dihydrate yields, at 100°, a residue having the cryst. network of the 0.5-hydrate but a higher degree of hydration, ~0.84 at 105°. The same phenomenon occurs with the 3.5 hydrate at 75°, resulting in ~2.14 H₂O at 80°.

Mary Grady Duden

BaCO₃

SrCO₃

PbCO₃

ΔH_f°

ΔG_f°

x2

C. A. 1966. 65.4

9830 rd.

1966

Heats and free energies of formation of anhydrous carbonates of barium, strontium, and lead. L. H. Adami and K. C. Conway (Berkeley Thermodyn. Lab., Bur. of Mines, Berkeley, Calif.). U.S. Bur. Mines, Rept. Invest. No. 6822, 7 pp. (1966) (Eng). The heats of formation of anhyd. Ba carbonate (witherite), Sr carbonate (strontianite), and Pb carbonate (cerussite) were detd. by soln. calorimetry. The soln. mediums were HCl for Ba and Sr carbonates and HClO₄ for Pb carbonate. The heats of formation at 298.15°K. are: BaCO₃, -297.5 ± 0.8 kcal./mole, SrCO₃, -294.6 ± 0.5 kcal./mole, and PbCO₃, -168.0 ± 0.3 kcal./mole.

RCTT

71

М 1723

1966

PbSO₄, CaF₂, SrSO₄, BaF₂, CaSO₄, Ca(OH)₂,
Mg(OH)₂, CaCO₃, BaCO₃, BaSO₄ ()

Ходаковский И.Л., Мишин И.В., Жогина В.В.

Геохимия, 1966, № 7, 861-866

О температурной зависимости произведений
растворимости и некоторых пределах
химического состава гидротермальных
растворов

РХ., 1967, № 814

W

F

1987

BaCO₃SrCO₃T_{tr}

(+) + 1

33917m Orthorhombic-disordered rhombohedral transition in SrCO₃ and BaCO₃ to 40 kilobars. Eliezer Rapoport and Carl W. F. T. Pistorius (South African Council Sci. Ind. Res., Pretoria). *J. Geophys. Res.* 12(4), 6353-7(1967)(Eng). The aragonite/disordered rhombohedral polymorphic transition temps. of SrCO₃ and BaCO₃ were measured to pressures near 40 kilobars by D.T.A. in a piston-cylinder device. The transition temps. can be expressed as $t(^{\circ}\text{C.}) = 930 + 9.10P + 0.0081P^2 - 0.00135P^3$ for SrCO₃ and $t(^{\circ}\text{C.}) = 799 + 7.15P - 0.052P^2$ for BaCO₃, where P is the pressure in kilobars. No new phases were encountered. The initial slopes of the transition lines agree very well with the initial slopes calcd. from the literature values of latent heat and vol. change.

RCJW

C. A. 1988, 68. 8

D

1984

BaCO₃

- 82978m Formation and properties of a metastable phase of barium carbonate. Nishino, Tadashi; Nishiyama, Shusaku
 (Musashi Inst. Technol., Tokyo, Japan). *Yogyo Kyokaishi* 1967, 75(866), 294-300 (Eng). A new metastable phase of Ba-CO₃, δ -phase, was obtained at room temp. by heating BaCO₃ with a small amt. of additive at 820° followed by quenching. The following additives were effective: K₂SO₄, Na₂SO₄, MgSO₄, CaSO₄, SrSO₄, BaSO₄, CuSO₄, CoSO₄, NiSO₄, ZnSO₄, CdSO₄, PbSO₄, Al₂(SO₄)₃, MgCrO₄, CaCrO₄, SrCrO₄, BaCrO₄, Ca₃(PO₄)₂. δ -BaCO₃ thus obtained was converted into γ -BaCO₃ by heating at about 500° or by addn. of H₂O or by grinding for several min. The heat of transformation was 8.5 cal./g. which was approx. half of the heat of transition $\gamma \rightarrow \alpha$. The additive was present as a solid soln. in BaCO₃.

JDJN

C.A. 1988. 69. 20

SrCO_3 , BaCO_3 (T_{cr}) 9 18224 196°F

Rapoport &., Pistorius C.W.F.T.,

J. Geophys. Res., 1964, 12(4), 6353-7,

Dilatometric-disordered channeled-
zal transition in SrCO_3 and
 BaCO_3 to 40 kilobars. 6

5 (op) - Boronite!
dust.

CA 1468/63, W3, 33917 m.

BaCO_3

Kp

Засыпкиева М.И. 1969
и гр.

№. огн. листов, 43 (10),
2613.

$(\text{All. SrCO}_3)_-$

1969

BaCO₃

130669p Thermal dissociation of barium carbonate. Evstig-neev, M. M.; Bundel, A. A.; Kondakov, B. V. (USSR). *Tr. Mosk. Khim.-Tekhnol. Inst.* 1969, No. 62, 291-4 (Russ). From Ref. *Zh., Khim.* 1970, Abstr. No. 9B942. The dependence of BaCO₃ dissociation pressure on the degree of decomprn. was measured at 700-1000°; the course of isotherms revealed the presence of intersolv. of BaCO₃ and BaO. The esp. pure prepns. in actuality contain a significant amt. of impurities which was not mentioned in accompanying records, and which is easily established by dissociation pressure measurement.

NBRK

C.A.

1971.84.24

BaCO₃

ВФ 850 - IX

1969

9 Б942. Исследование термической диссоциации карбоната бария. Евстигнеев М. М., Бундель А. А., Кондаков Б. В. «Тр. Моск. хим.-технол. ин-та им. Д. И. Менделеева», 1969, вып. 62, 291—294.

Измерена зависимость давл. диссоциации BaCO₃ от степени разложения в интервале 700—1000°; ход изотерм обнаруживает наличие взаимной р-римости BaCO₃ и BaO. Обнаружено, что препараты «косой чистоты» в действительности содержат значительные кол-ва примесей, не оговоренных в прилагаемых паспортах, что легко устанавливается по измерениям давл. диссоциации. Резюме

kp

X·1970·9

1970

BaCO₃

Збенишева Н.Н. и др.

диссертация
ищ.;

Н. Н. Збенишев,

1970, 44, № 10, 2607.

P



(акт. SrCO₃) I

BaCO₃

BP - 942-1X

1970

17 Б790. Структурное, термическое и кинетическое исследование системы SrCO₃—BaCO₃. Garcia-Clavell E., Burriel-Matti F., Rodriguez de la Pena M. Estudio estructural, termico del sistema CO₃Sr—CO₃Ba. «Inform. quim. anal.», 1970, 24, № 1, 31—38, 14 (исп.; рез. англ.) .

Методами рентгенографии (порошковым), ИК-спектроскопии, электронной микроскопии, ДТА и ТГА (при постоянной и переменной т-ре) изучены тв. р-р SrCO₃ (I) — BaCO₃ (II), а также I и II. Тв. р-р I—II получен совместным осаждением I и II в эквимол. кол-вах из р-ров соотв-щих нитратов с избытком (NH₄)₂CO₃ при т-ре кипения р-ра. Тв. р-р I—II имеет ромбич. структуру типа арагонита. При т-ре несколько ниже 825° тв. р-р распадается на I и II; при 825° имеет

T_{tr}

X, 1970, 17

место обратимый фазовый переход $\alpha \rightleftharpoons \beta$ II; при 950 и 1125° начинается термич. диссоциация соотв. I и II. На основании изотермич. кривых ТГА графич. методом определены константы скорости р-ции термич. диссоциации, а на основании последних — величины энергии активации процессов термич. диссоциации I, II и тв. р-ра I—II.

И. Н. Семенов

BaCO_3

mesmer.
Kaprost.

Fudd ill. D.
Pope ill. T.

1830

J. App. Chem., 20 (12),
384.

(all. CaCO_3) I

BaCO_3

1971.

Linseis Max

Therm. Anal., Proc. Int. Conf., 3rd 1971, (Pub. 1972),
269-77. -- 1

(T_{tr})

• ($\text{cet} \cdot \text{K}_2\text{SO}_4$; I)

KNO_3 , $KClO_4$, Ag_2SO_4 , S_2O_2 , 1971
 K_2SO_4 , K_2CrO_4 , $BaCO_3$, $SrCO_3$,
In, Sn (T_{g}) 10 9 14
16 15-

McAdie H.G. IX 3377

J. Therm. Anal., 1971, 3, N1, 79-86 (auto)

Thermal analysis standards. Need and realization.

PHI Rev., 1971 18 5 (P)
195808

BaCO₃

De Villiers y P.R.

1971

glaucm.

deep-pa 56, n 5-6, 458

(cav. CaCO₃)

BaCO_3 (T_{22}) $\text{Sr}_x\text{Ba}_{2-x}(\text{O}_3)_2$ (T_1) 1972

Judd, M. D., Pope M. I. IX 4084

J. Appl. Chem. and Biotechnol., 1972, 21,
N10, 285-286 (aer)

The formation and surface properties of
electrolyt emissive coating. VIII. Structure of
strontium - barium double carbonates.

Pittman, 1973

65816

let's Q.K.

5 Ⓢ

K_2SO_4 ; $KClO_4$; KNO_3 ; SiO_2 ; $\underline{BaCO_3}$ (sh) 1971
1972

Hinkley's Hill, IX 4293

Therm. Anal., Proc. Int. Conf., 3rd,
1971 (Pub 1972), 1, 269-77 (new)

New differential scanning calorimetry method.

10

Q

M ⑧

CA, 1973, 78, 126, 1651514

KNO_3 ; In ; Sn ; KClO_4 ; Ag_2SO_4 ; KClO_3 ; SiO_2 ; K_2SO_4 ; K_2CrO_4 ; $\underline{\text{BaCO}_3}$; SrCO_3 (etc.) 1372

McAdie H.G., Gann P.D., Nenison, IX-4141

Nat. Bur. Stand. (U.S.), Spec. Publ., 1972,
N 260-40, 60 pp. (anew.) 10 + 10 90

Standard reference materials. Selection of differential thermal analysis temperature standards through a cooperative study (SRM 758, 759, 760). [Circular logo with a stylized symbol]

CP.1972.77.N49.144643

1973

- ✓ 4 Б736.. О полиморфизме твердых растворов карбонатов щелочноземельных металлов. Абалдуев Б. В., Большаков А. Ф., Егорова В. Г. В сб. «Исслед. по мат., физ., химии». Саратов, Приволж. кн. изд-во, 1973, 160—165

VaCO₃,
SrCO₃

ио-литий хр
фигур
превращ

Термографическим и термогравиметрич. методами изучены тв. р-ры карбонатов щел.-зем. металлов. Показано, что тв. р-ры карбонатов Va и Sr при прогреве в интервале т-р 20—1100° испытывают полиморфные превращения энантиотропного характера, связанные с переходом ромбич. модификации в гексагон. и затем в кубич. Показано, что т-ры полиморфного превращения ромбич. модификации тв. р-ров в гексагон. значительно ниже аддитивно рассчитанных. Установлено, что т-ры полиморфного превращения гексагон. модификации в кубич. от состава тв. р-ров близка к линейной. М. И. В.

Х1974НЧ

8

$\text{BaCd}_3(\text{mB})$

1973

Bardin Y, et al

mass I, cmp. 79

SOL A 298-1049

SOL B 1049-1241

SOL C 1241-1400

● (acc tgF) I

IX-4454

1973

BaCO₃, SrCO₃ (Tb₂)

Judd M.-S., Opoë M.I.,
Thermoclin. acta, 1973, 7, n3,

247-248



5

BaCO_3

Bsp - 4151-IX

1973

} 13 Б837. Термическое разложение полугидрата оксалата бария $\text{BaC}_2\text{O}_4 \cdot 0,5 \text{H}_2\text{O}$. Verdonk A. H., В го-
с г с м а А: Thermal decomposition of barium oxalate
hemihydrate $\text{BaC}_2\text{O}_4 \cdot 0,5 \text{H}_2\text{O}$. «Thermochim. acta», 1973,
6, № 1, 95—110 (англ.)

Методами ТГА, ДТА, дифференциальной сканирующей калориметрии, ИК-спектроскопии и рентгенографии изучено термич. разложение $\text{BaC}_2\text{O}_4 \cdot 0,5 \text{H}_2\text{O}$ (I) и BaCO_3 в атмосфере CO_2 и N_2 . Установлено, что т-ра гидратации I в атмосфере CO_2 лежит в интервале 96—157°, а в атмосфере N_2 т-ра гидратации существенно понижается и составляет 50—122°. В атмосфере CO_2 при давл. газа 1 атм BaC_2O_4 разлагается на BaCO_3 и CO , а в атмосфере N_2 характер разложения BaC_2O_4 усложняется и описывается ур-ниями BaC_2O_4 (тв.) \rightarrow BaCO_3 (тв.) + CO (газ) (в интервале 330—550°); 2 CO (газ) \rightarrow C (тв.) + CO_2 (газ) (при 470—550°); BaCO_3 (тв.) +

(T_m ; T_{t_2})

X. 1973. N 13

(+) 18

$+C$ (тв.) $\rightarrow BaO$ (тв.) $+ 2 CO$ (газ) (в интервале 600—725°). Равновесная т-ра разложения $BaCO_3$ зависит от парц. давл. CO_2 над образцом и составляет 703° в атмосфере сухого N_2 , 788° в атмосфере сухого N_2 , содержащего CO_2 , и 1348° в атмосфере CO_2 при давл. 1 атм. Установлено, что при разложении $BaCO_3$ образующаяся BaO дает эвтектику с $BaCO_3$ с содержанием 64 мол.% $BaCO_3$ и т. пл. 1060°. Т. пл. $BaCO_3$ при давл. CO_2 1 атм 1354 ± 6 . На кривых ДТА I отмечены также эффекты, обусловленные фазовыми переходами $BaCO_3$ при 803 и 976° (на кривых нагревания) и 750 и 955° соотв. (на кривых охлаждения). Методом высокот-рной рентгенографии в атмосфере N_2 установлено, что дегидратация I при 102—120° сопровождается в дальнейшем возникновением новой крист. фазы при 343°, к-рая полностью исчезает при 391°, по-видимому, вследствие перехода $\alpha\text{-}BaC_2O_4 \rightarrow \beta\text{-}BaC_2O_4$. В то же самое время уже при 343° на рентгенограммах отчетливо видны рефлексы $BaCO_3$ в кач-ве второй фазы. Переход в др. крист. модификацию $BaCO_3$ отмечен уже при 652—666°. При 706° на рентгенограммах продуктов термич. разложения I появляются слабые рефлексы фазы BaO . В атмосфере же CO_2 , по данным рентгенографич. анализа, происходят след. фазовые превращения: дегидратация I при 94—115°, разложение BaC_2O_4 при 387—433°; далее до 600° не отмечено никаких фазовых переходов. Обсуждена возможность существования оксалатокарбонатов Ba в кач-ве промежут. продуктов термич. разложения.

А. В. Салов

K_2SO_4 , $BaCO_3$ ($T_{\text{ср}}$) IX-4332 1973
Willmann Gerd

Z. anal. Chem., 1973, 266, N1, 21-23 (нем.)

Определение температуры фазообразования превращения методом
цифференциального термического
анализа.

PHI Leobn., 1974

15875

есть ОРК

Б (P)

IX-5786

1975

BaCO₃, KNO₃, KClO₄, K₂SO₄ + JP.
(T_{tr}, ΔH_{tr}, G)

Gray A.P.

Thermal Anal. Proc. 4-th Int. Conf.

Thermal Anal., Budapest, 1974, Vol 3.

Budapest, 1975, 991-1003

Proc, 1976, 5B999



5

KNO_3 , $KClO_4$, Ag_2SO_4 , SiO_2 (magnetite) 1975

K_2SO_4 , K_2CrO_4 , $BaCO_3$, $SrCO_3$ (ΔH_{tr})

Mackenzie R.C., Ritchie P.T.S.

Rev. Gen. Therm., 1975, 14 (759),
218-22. $\overline{TK} 4951$

Peak areas and heats of
transition of DTA temperature
standards. (

C.A. 1975.83 N6. 49141z.

5 \overline{op}^{10}

$SzCO_3, BaCO_3 (\Delta S_{22}, \Delta H_{22})$ 1975
} Stromme K.O. 1X4940

Acta chem. scand., 1975, A 29, N1, 105-110 (part)

On the crystal structures of the high-temperatur forms of strontium and barium carbonate and structurally related

- Compounds.

PHYSIK, 1975 (

195440

5 ④

5

IX-5374

1975

BaTi₃

BaTiO₃

(4Hf)

85: 68960y A comment on the chemical equilibrium in the barium carbonate-titanium dioxide system. Suyama, Yoko; Kato, Akio (Fac. Eng., Kyushu Univ., Fukuoka, Japan). *Ceramurgia Int.* 1975, 1(3), 123-6 (Eng). An equil. study was done on the following reactions: $\text{BaCO}_3 + \text{TiO}_2$ (anatase) \rightarrow $\text{BaTiO}_3 + \text{CO}_2$ [1]; $\text{BaCO}_3 + \text{TiO}_2$ (rutile) \rightarrow $\text{BaTiO}_3 + \text{CO}_2$ [2]; $\text{BaCO}_3 + \text{BaTiO}_3 \rightarrow \text{Ba}_2\text{TiO}_4 + \text{CO}_2$ [3]. The following reaction temps. under 1 atm. of CO₂ were found: 530 ± 5 [1]; 650 ± 5 [2]; $1145 \pm 3^\circ$ [3]. These temps. are higher by 90 to 240° than those calcd. from thermochem. tables. The discrepancies can be explained by assuming -296.5 ± 1.0 kcal-mole for the heat of formation of BaCO₃ at 298°K against -290.7 kcal/mole given in the tables.

C.A. 1976. 85N10

BaCO₃ (k) (DFH)

U*-15596 1976

No_33153

Basu T.K., Searcy A.W.

Kinetics and Thermodynamics of Decomposition of Barium Carbonate.

J.Chem. Soc. Faraday Trans.I.-1976.
-Vol.72, Part 9.- P. 1889-1895.

(Гусаров)

BaCO₃

1976

Gal S., et al.

Pterinochilus aeta 1976,

16, N3, 339-44.

(12)



(all diag lls) 1

1976

IX-5519

BaCO₃ (Kc, pH, G)

Horlings H., Scott D.S., Wunnyckyj Jr.,
Canad. J. Chem., 1976, 54, n24, 3872-3875

ll

left open

Prax, 1974, 165894

И-5294

1976

BaCO₃

14 Б1155. Кинетика образования основных вольфраматов бария в системе BaCO₃—BaWO₄. Конюк И. Ф., Ващук В. В., Сурмач Н. Г. «Вестн. Белорус. ун-та», 1976, сер. 2, № 1, 3—7

Методом изотермич. гравиметрич. анализа в сочетании с рентгенофазовым исследованием тв. продуктов при т-рах 700—1000° на воздухе и в вакууме изучен процесс взаимодействия порошкообразных и спрессованных в таблетки под давл. 4 т/см² BaCO₃ (I) с BaWO₄ (II) и Ba₂WO₅ (III). Показано, что скорость взаимодействия смеси I+II при 950—1000° до степени превращения $\alpha=0,40—0,45$ описывается ур-нием Гинстлинга—Броунштейна с кажущейся энергией активации E для таблеток и нетаблетированной смеси соотв. 50 ± 2 и 59 ± 2 ккал/моль. До $\alpha=50\%$ скорость р-ции в таблетках была несколько выше, чем в нетаблетированной смеси, однако с повышением т-ры эта разница уменьшалась и при 900—950° исчезала. При высоких α скорость р-ции в таблетках была ниже. Такое поведение предположительно объяснено образованием на 1-м этапе III, к-рый затем превращается в Ba₃WO₆.

ДВ, кинетика
образов

(+)

X. 1976
N14

(IV). При т-рах 700—950° и $(0,04—0,08) \leq \alpha \leq (0,85—0,90)$ скорость р-ции эквимол. таблетированной смеси I и II описывается тем же ур-нием с $E=50$ ккал/моль. Снижение давл. до 10^{-2} мм от 1 атм увеличивает скорость р-ции в 4 раза. Взаимодействие эквимол. смеси I и III при $\alpha \leq (0,3—0,6)$ описывается ур-ниями сокращающейся или расширяющейся сферы, а при больших α — ур-ием $1+2/3\alpha-(1+\alpha)^{2/3}=k_2t$, где k_2 — константа скорости, t — длительность процесса. Р-ция в нетаблетированной смеси протекает здесь быстрее, чем в таблетках, величина $E=50—54$ ккал/моль. По данным эксперим. определения равновесного давл. CO_2 вычислены значения ΔG_T^0 (ккал/моль). Для р-ции $\text{I}+\text{II}=\text{III}+\text{CO}_2$ при $700—800^\circ\text{C}$ $\Delta G_T^0=(40\ 600 \pm \pm 2000)-(33,8 \pm 3,0)T$; при $810—950^\circ$ $\Delta G_T^0=(16\ 300 \pm \pm 1500)-(11,1 \pm 1,2)T$. Для р-ции $\text{I}+\text{III}=\text{IV}+\text{CO}_2$ при $810—970^\circ$ $\Delta G^0=(19\ 800 \pm 1500)-(11,5 \pm 1,3)T$. Э. Г. Раков

лов

—

Fe_2O_3 , BaCO_3 (T_{cr}) 12-5353 1976

Solacolu S., Bulzan M., Segol E.

Rev. Roum. chim., 1976, 21, N₄, 545-548 (ann.)

Studies on the formation kinetics of
barium hexaferrite $\text{BaO}\cdot 6\text{Fe}_2\text{O}_3$ in the
binary system $\text{BaO}\cdot \text{Fe}_2\text{O}_3$.

Pittsburgh, 1977

15817

○

5 (P)

3

"77 Geer

BaCO_3

Pompe R.

1974

Thermochim. acta, 1974,
20, N^o 2, 229-235

ΔH presse

(auv. AlP_2O_5) T

1977

BaCO₃CaCO₃разов.
превращ.

- 14 Б878. Изоморфизм карбонатов бария и кальция и фазовые превращения их твердых растворов. Большаков А. Ф., Басина А. Г., Абалдуев Б. В. «Изв. высш. учеб. заведений. Химия и хим. технол.», 1977, 20, № 1, 6—10

Определены области образования ограниченных и непрерывных тв. р-ров, кристаллизующихся в арагонитовой, кальцитовой и ватеритной модификациях. Установлено, что в процессе осаждения фазовый состав карбонатов изменяется. Первоначально кристаллизуются фазы ватеритного типа, затем — кальцитового и в конце р-ции — арагонитового типа. Определены т-ры и последовательность фазовых превращений, происходящих при прогреве тв. р-ров карбонатов. Построена фазовая диаграмма системы BaCO₃ — CaCO₃.

Резюме

(+) □



8. 1977. N 14

BaCO₃

Оттиск 13580

1982

расчет
по методике
Kp *данных*

> 13 Б811. Термическая устойчивость карбоната бария.
Трошин Н. Е., Силантьева И. А., Хованская Е. С. «Изв. АН СССР. Неорган. материалы», 1982,
18, № 2, 280—282

На основании лит. данных рассчитаны величины
станд. изобарно-изотермич. потенциала образования
 $BaCO_3$ (I) из элементов при 600, 800, 1000, 1150, 1200
и 1600 К. Проведена оценка термич. устойчивости I.
Установлено, что на воздухе I термически устойчив до
1150 К.

Резюме

1982, 19, N13.

18 Б905. Исследование методом ДТА влияния примесей на фазовые превращения карбоната бария. Rama Mohan Rao C., Nagaiah Mehrotra P. DTA studies on the effect of impurities on the phase transformations of barium carbonate. «J. Therm. Anal.», 1979, 17, № 2, 539—542 (англ.)

1979

Исследовалась кинетика и энергетика обратимых фазовых превращений карбоната Ba из ромбич. (γ) в гексагон. (β) и из гексагон. (β) в кубич. (α) формы при t -рах 1093 и 1253 К соотв., в присутствии катионных примесей: Ca^{2+} , Sr^{2+} , Zn^{2+} и Cd^{2+} . По данным ДТА определялись энталпия и энергия активации чистых и легированных образцов карбоната Ba. Обнаружено, что примеси влияют на все контролировавшиеся параметры превращения $\gamma \rightarrow \beta$. Энергия активации в присутствии примесей составляет 840—3060, чистого карбоната 2160 кДж/моль, энталпия в присутствии примесей составляет 9,7—16,4, чистого карбоната 13,5 кДж/моль. Примеси влияют также на гистерезис t -ры превращения, зависящий от соотношения высокотемпературной и низкотемпературной фаз. Специфика влияния различных катионных примесей определяется, по-видимому, различиями их ионных радиусов и электронных конфигураций.

Резюме

BaCO₃

(Thz)

X 1980 N 18

$\text{BaCO}_3 \cdot 3\text{BaSO}_4$

1982

12 Б741. Существование новой фазы в системе карбонат бария — сульфат бария. Hájek Bohumil, Ondráček Jan, Mick Alexander. Existence of a new phase in barium carbonate-barium sulphate system. «Collect. Czech. Chem. Commun.», 1982, 47, № 1, 1—6 (англ.)

T_m

С помощью ДТА, ТГА, ИК-спектроскопии, дифрактометрии и микроскопич. анализа изучены фазы, полученные смешением из разб. водн. р-ров BaCO_3 (I) — BaSO_4 (II). Обнаружено образование новой фазы I·3II, к-рая устойчива до т-ры 1000° С. Л. Г. Титов

X, 1982, 19, N 12.

Lomnick 13509 | 1982

BaCO₃·3BaSO₄

Hajek B., Ondracek J.,
Ruck A.,

measured.

measured.

Collect. Czech. Chem.
Commun., 1982, 47,
N1, 1-6.

BaCO₃

1983

21 Б952. О температуре переходов BaCO₃ и SrCO₃ — этанонных материалов для определения температуры при ДТА. On the transition temperatures of BaCO₃ and SrCO₃ as DTA temperature reference materials. Iwafuchi K., Watanabe C., Otsuka R. «Thermochim. acta», 1983, 64, № 3, 381—386 (англ.)

Методами ДТА и ТГА изучено влияние состава газового потока CO₂+N₂ на сдвиг т-ры перехода ($T_{\text{п}}$) BaCO₃, SrCO₃, K₂CrO₄ и чистого Ag при расходе газа 100 мл/мин и скорости нагрева 10° мин⁻¹. Показано, что у BaCO₃ (реагент) и витерита $T_{\text{п}}$ уменьшается со снижением отношения CO₂/N₂, а у BaCO₃ (станд. образец) только при переходе к чистому N₂. У SrCO₃ всех видов величина $T_{\text{п}}$ практически постоянна, но возрастает в N₂. На $T_{\text{п}}$ K₂CrO₄ и т. пл. Ag изменение состава атмосферы не влияет. Повышение $T_{\text{п}}$ у SrCO₃ в атмосфере N₂ связано с началом распада SrCO₃ на SrO и CO₂, т. к. низкое парц. давление CO₂ снижает т-ру начала распада.

Л. В. Шведов

X. 1983, 19, № 21

BaCO₃

1983

{ 101: 236307k Phase transformations in carbonates of magnesium, calcium, strontium, and barium at pressures up to 160 kbar.
Logvinov, V. M.; Doroshev, A. M. (USSR). *Silik. Sist. Vys. Davleniyakh* 1983, 47-56 (Russ). Edited by Malinovskii, I. Yu. Akad. Nauk SSSR, Sib. Otd., Inst. Geol. Geofiz.: Novosibirsk, USSR.
Although magnesite is stable at <80 kbars, the calcite modification of MgCO₃ is stable at 1100° and ≤160 kbars. The aragonite modification of CaCO₃ is stable at 1100° and ≤160 kbars. Dolomite [CaMg(CO₃)₂] was studied at 515-1330° and 40-160 kbars. It decomp. at 50-70 kbars to magnesite and aragonite. Two new modifications of BaCO₃ (more d. than witherite) form at 40-160 kbars. At >130 kbars, strontianite is transferred to a new modification.

(T_{E2})

C.A. 1984, 101, N26.

BaCO₃

1983

| 12 Б952. Влияние диоксида титана, оксида алюминия и карбоната кальция на термическую устойчивость карбоната бария. The influence of titanium dioxides, alumina and calcium carbonate on the thermal stability of barium carbonate. Scarlat Rorica, Segal E., Tomus Georgeta, Constantin Maria. «Thermochim. acta», 1983, 61, № 3, 375—378 (англ.).

*термическая
устойчивость*

Изучено влияние добавок TiO₂ (I), Al₂O₃ (II) и CaCO₃ (III) на термич. устойчивость BaCO₃ (IV) и фазовый переход ромбич. IV→гексагон. IV. Были изучены след. смеси: 1) 70% IV—30% I (рутил); 2) 69,6% IV—29,8% I (рутил)—0,6% II; 3) 69,6% IV—29,8% I (анатаз)—0,6% II; 4) 70% (0,97 моля IV+0,03 моля III)—30% I (рутил); 5) 1 моль IV—0,006 моль II; 6) 1 моль IV—0,06 моль II; 7) 1 моль IV—1 моль II. Идентификацию продуктов разл. про-

X. 1983, 19, N 12

водили с помощью дифрактометрии. Установлено, что
IV разлагается в две стадии соотв. ур-ниям:
3 $\text{IV}_{(\text{т.в.})} \rightarrow (\text{BaCO}_3)_2 \cdot \text{BaO}_{(\text{т.в.})} + \text{CO}_{2(\text{г.})}$; $(\text{BaCO}_3)_2 \cdot \text{BaO}_{(\text{т.в.})} \rightarrow 3\text{BaO}_{(\text{т.в.})} + 2\text{CO}_{2(\text{г.})}$, причем для первых четырех смесей максим. скорости первой и второй стадии соответствуют след. т-ры: 910 и 1140, 885 и 1090, 840 и 1110, 860 и 1140° С. Получены кинетич. параметры для обеих стадий термич. разл. **IV**, причем кажущийся порядок р-ции равен нулю для обеих стадий. **II** уменьшает термич. устойчивость **IV** и снижает энергию активации фазового перехода. **III** также значительно снижает энергию активации разложения **IV**. Кинетич. параметры разложения смесей 5—7 определить не удалось.

Л. Г. Титов

BaCO₃

1984

6 Б3042. Взаимодействие карбоната бария с разбавленными растворами плавиковой кислоты. Курбаниев А. Р., Абдукадырова С. А., Шарипов Д., Орипов С., Икрами Д. Д. «Докл. АН Тадж ССР», 1984, 27, № 6, 320—323 (рез. тадж.)

Mag;
В изотермич. калориметре р-рения измерены энталпии взаимодействия BaCO₃ с 5, 10, 20 и 30%-ным р-ром HF. Тепловой эффект р-ции 60 кДж/моль намного превышает величину 3,015 кДж/моль, рассчитанную в предположении образования в р-ре BaF₂. Это подтвердило возможность образования гидрофторида BaF₂·HF, для энталпии образования к-рого получено 1563,43 кДж/моль.

А. С. Гузей

(+) BaF₂ · 6 HF / dHf)

X. 1985, 19, N6

1986

BaCO₃(K)Ba²⁺ aqΔf, K_fΔ₂₉₈H, S₂₉₈C.A. 1986, 105,
N 26

105: 230031b The solubility of crystalline barium carbonate (witherite) in carbon dioxide-water solutions between 0 and 90°C, evaluation of the association constants of BaHCO₃⁺(aq) and BaCO₃⁰(aq) between 5 and 80°C, and a preliminary evaluation of the thermodynamic properties of Ba²⁺(aq). Busenberg, Eurybiades; Plummer, L. Niel (U.S. Geol. Surv., Reston, VA 22092 USA). *Geochim. Cosmochim. Acta* 1986, 50(10), 2225-33 (Eng.). New measurements of the solv. of witherite [14941-39-0] were used to evaluate the equil. const. of the reaction BaCO₃(cryst.) = Ba²⁺(aq.) + CO₃²⁻(aq.) at ≤ 90° and 1 atm total pressure. The temp. dependence of the equil. const. (K) is given by: log K = 607.642 + 0.121098T - 20011.25/T - 236.4948 log T, where T is temp. in K. The equil. consts. are consistent with an aq. model that includes the ion pairs BaHCO₃⁺(aq.) and BaCO₃⁰(aq.). Three different methods were used to evaluate the assocn. const. of BaHCO₃⁺(aq.), and all yielded similar results. The temp. dependence of the assocn. const. for the reaction Ba²⁺(aq) + HCO₃⁻(aq) = BaHCO₃⁺(aq) is given by log K_{BaHCO₃⁺} = -3.0938 + 0.013669T. The temp. dependence of the equil. const. for the reaction Ba²⁺(aq.) + CO₃²⁻(aq.) = BaCO₃⁰(aq.) is log K_{BaCO₃⁰} = 0.113 + 0.008721T. The log K of cryst. BaCO₃, the Gibbs energy, the enthalpy, and entropy at 298.15K are given. This model gives reliable calcns. of the aq. speciation and solv. of witherite in the system BaCO₃-CO₂-H₂O from 0 to >90°. Literature data on witherite solv. were reevaluated and compared with the results.

BaCO₃

LM. 27871

1986

Buseberg E, Pleun-
mer L.N.,

(Kc, SR)

Geochim. et Cosmo-
him. Acta, 1986,

50, 2 225-2233

BaCO_3 1988
Kostyrko K., Skoczyłas
M., Klee A.

T_{t_2} , J. Therm. Anal. 1984,
 $\Delta_{t_2} H$; (Pub. 1988). 33 (1), 351-7.

(add. KNO_3 ; II)

Баллз

1989

23 Б2546. Высокотемпературное исследование и термодинамическое моделирование поведения фазы BaCuO_2 на воздухе / Дубровина И. Н., Захаров Р. Г., Монсеев Г. К., Костицын Е. Г., Явойская О. В., Антонов А. В., Балакирев В. Ф., Ватолин Н. А. // Сверхпроводимость: Физ., химия, техн.— 1989.— 2, № 8.— С. 101—106.— Рус.

Методами высокот-рной рентгенографии, термич. анализа (ТГ, ДТГ, ДТА), а также термодинамич. моделирования (ТДМ) изучена термостабильность фазы BaCuO_2 при т-рах 25—1100° С. Выявлена и обоснована с помощью ТДМ её частичная термич. диссоциация при т-рах 400—850° С. Конечными продуктами диссоциации и послед. р-ции с углекислым газом воздуха являются фаза CuO и фаза $\alpha\text{-BaCO}_3$, переходящая при 820° С в $\beta\text{-BaCO}_3$. Найден коэф. термич. расширения $\alpha_t = 1,62 \cdot 10^{-5} \text{ град}^{-1}$. Зависимость $\alpha(t)$ аппроксимируется полиномом $18,298 + 3,464 \cdot 10^{-4} t - 2,107 \cdot 10^{-7} t^2 +$

III
т2

Х. 1989, № 23

$+1,734 \cdot 10^{-10} t^3$ и указывает на отсутствие структурных фазовых переходов вплоть до точки плавления, равной 1020°C .

Резюме



BaCO₃

(On 31651)

1989

110: 142466v Calorimetric heat of transition assignments by microcomputer-based differential thermal analysis. Part II. The γ - β (orthorhombic to hexagonal) transition of barium carbonate. Earnest, C. M. (Dep. Chem., Berry Coll., Rome, GA 30149 USA). *Thermochim. Acta* 1989, 137(2), 365-71 (Eng). The enthalpy change (ΔH) assocd. with the γ - β (orthorhombic to hexagonal) cryst. transition for a specimen of barium carbonate std. (NBS-SRM 760) which is sold for temp. calibration of differential thermal analyzers was studied. The mean value obtained by numerous operators of the same model of a com. available computerized DTA system is reported. These data were collected at three different heating rates and a variety of sample sizes. The mean value reported in this study (98.2 J/g) was compared with that obtained by earlier workers. An av. molar entropy of transition was calcd. to be +17.9 J/K mol.

(St2H)

c.A.1989, 110, N16

Ba CO₃

от 31651

1989

15 Б3024. Калориметрическая теплота перехода по обработанным с помощью микрокомпьютера данным дифференциального термического анализа. II. Переход карбоната бария γ (орторомбическая фаза) — β (гексагональная фаза). Calorimetric heat of transition assignments by microcomputer-based differential thermal analysis. Part II. The γ - β (orthorhombic to hexagonal) transition of barium carbonate / Earnest C. M. // Thermochim. acta.— 1989.— 137, № 2.— С. 365—371.— Англ.

ΔH_T

Многими операторами на одной и той же модели коммерчески доступного компьютеризированного прибора ДТА определялась величина ΔH перехода γ -фаза (орторомб.) — β -фаза (гексагон.) для образца карбоната бария (NBS-SRM 760), к-рый поставляется как станд. в-во для калибровки приборов ДТА. При измерениях варьировалась скорость нагрева и масса образца. Средн. величина ΔH перехода (810°C) составила $98,2 \pm 3,4$ Дж/г, средн. $\Delta S = 17,9$ Дж/К·г. Результаты согласуются с данными др. авторов. Р. Г. Сагитов

X.1989, N 15

BaCO₃

1989

111: 244743w Characterization of δ -barium carbonate. Nishino, Tadashi (Musashi Inst. Technol., Setagaya, Japan). *Solid State Ionics* 1988 (Pub. 1989), 32-33(Pt. I), 394-7 (Eng). When a mixed powder of BaCO₃ with a small amt. of BaSO₄ is heated at around the transition temp. of BaCO₃ for several minutes and followed by quenching, a new cryst. metastable phase (δ -BaCO₃) was obtained. The formation, properties, chem. compn., and crystal anal. of the γ -phase are discussed. The δ -BaCO₃ is monoclinic, space group P2₁/m, with a 6.913, b 5.295, c 4.545 Å, and β 107.89°; Z = 2.

*nonmetamorphic
crys*

c.a. 1989, 111, n26

BaCO₃

1989

) 10 E664. Исследование δ -BaCO₃. Characterization of δ -BaCO₃ / Nishino Tadashi // Solid State Ionics.— 1989.— 32—33, Pt. 1.— С. 394—397.— Англ. Место хранения ГПНТБ СССР

Исследованы образование, свойства, химич. состав и структура новой кристаллической метастабильной δ -фазы, которая получается, если порошок BaCO₃ с небольшим количеством BaSO₄ нагревается в течение нескольких минут вблизи т-ры γ — α -перехода BaCO₃ (равной 820° С), а затем закаливается до т-ры жидкого азота. Показано, что структура δ -BaCO₃ близка к структуре CaCO₃ (II), метастабильной фазе высокого давления.

Резюме

cf. 1989, N 10

БаCO₃

1989

21 Б3139. Описание δ -BaCO₃. Characterization of δ -BaCO₃ / Nishino T. // Solid State Ionics.— 1989.— 32—33, №1.— С. 394—397.— Англ.— Место хранения ГПНТБ СССР

Методами РФА, ДТА и ионной хроматографии исследован фазовый состав смеси BaCO₃+ x BaSO₄ после обработки в обл. т-р 750—840°С в продолжении 30 мин с послед. закалкой в жидк. N₂. При 0< x <10 мол. % обнаруживается новая метастабильная монокл. фаза δ -BaCO₃ (a 6,913, b 5,295, c 4,545 Å, β 107,89°, Z 2, пр. гр. $P2_1/m$). Структура δ -фазы весьма близка к структуре метастабильной фазы высокого давл. CaCO₃. При нагреве δ -фазы при 650°С образуется ромбич. γ -фаза, и при 830°С образец состоит только из гексагон. α -фазы. Образование δ -фазы объясняется частичным замещением ионов CO₃²⁻ на ионы SO₄²⁻, имеющие больший ионный радиус. При x <10 мол. % замещение идет идеально.

В. А. Ступников

X. 1989, №21

Kapdonkarev Ba

1989

Vedishcheva N.M.,

Shakhmatkin B.A.

I Haq, Glass '89; et al.
15 Int. Congr.

I Hf; Glass, Leningrad, 1989;
Proc. Vol. 16.Z., 1989.

c. 187-190. (ac. Mgo; I)

BaCO₃

1991

Hennig I., Knobloch M.,
et al.;

G, 0.5-40K phys. status solidi
A 1991, 123(2), L117-L121

(all-BaCuO₃; I)

BaCO₃

1991

115: 165142 Thermal characteristics of barium carbonate.
Huang, Keihan (Inst. Comprehens. Utilization Miner. Prod., Minist. Geol. and Min., Peop. Rep. China). *Kuangchan Zonghe Liyong* 1991, (1), 52-4 (Ch). The results of DTA and thermogravimetric anal. of BaCO₃ are given. The compd. was also studied by x-ray diffractometry and IR spectrometry. The phase transition was discussed. The thermal d-compn. temp. was detd.

(T_{t2}, C_p)

C.A. 1991, 115, N 2

BaCd₃

1992

Matskerich N.I., Popova T.L.,
et al.,

(Other) lib. Khim. Zh. 1992, (5),
85-8

(all. BaCd₃) (I)

BaCO₃

Charlsey

1993

120: 16S34g Preliminary round-robin studies on the ICTAC certified reference materials for DTA. Barium carbonate and strontium carbonate. Charlsey, E. L.; Earnest, C. M.; Gallagher, P. K.; Richardson, M. J. (Therm. Anal. Consult. Serv., Leeds Metrop. Univ., Leeds, UK SL1 3HE). *J. Therm. Anal.* 1993, 40(3), 1415-22 (Eng). The ICTAC Committee on Standardization has formed a Task Group to investigate the suitability of the ICTAC Certified Ref. Materials for DTA, covering the temp. range 450°-1100°, for accurate temp. calibration purposes and to evaluate their potential as enthalpy calibrants for DTA and DSC equipment. This paper reports the results of the preliminary round-robin studies on barium carbonate and strontium carbonate, using a dual-point calibration method based on the m.ps. of aluminum and gold. In addn., the fusion of ICTAC potassium sulfate was investigated as a possible calibration transition.

T_m



(7.2)



$\text{SrCO}_3, \text{K}_2\text{SO}_4$

C.A.1994, 120, N2

BaCO_3

1993

Наскеев H. B.,
Горова Т. Р. и др.

ИС. геол. химии. 1993.

ΔH_f ,

67, ат. с. 1342-1344.

$\Delta H_{\text{soln.}}$



(см. Y_2O_3 ; I)

BaCO_3

1995

Matskevich N.I.,
Popova T.Z. et al.

($\Delta H_{\text{soln.}}$)

Thermochim. Acta 1995,
254, 41-5.

(cer. $\text{GdBa}_2\text{Cu}_3\text{O}_{6.9}$; I)

BaCl_3 (k, witherite)

1995

Parker V. B.

mpcrog.
cb-Ba

J. Phys. Chem. Ref.
Data 1995, 24(2),
1023-36.

(ceq. Ba^{2+}
 aq ; ?)

BaCO₃ [DM-41225] 2001

Лысенко В.Н., Забри-
ц (20-339к)reb K.C. u gp.,

S₂₂₃ Реконструкция, 2001, №10,
1100 - 1107.